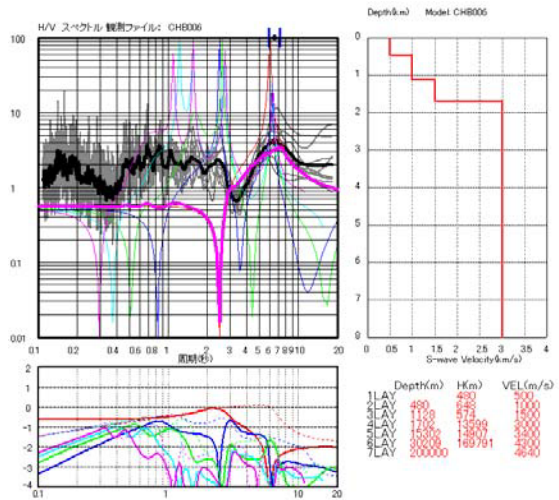
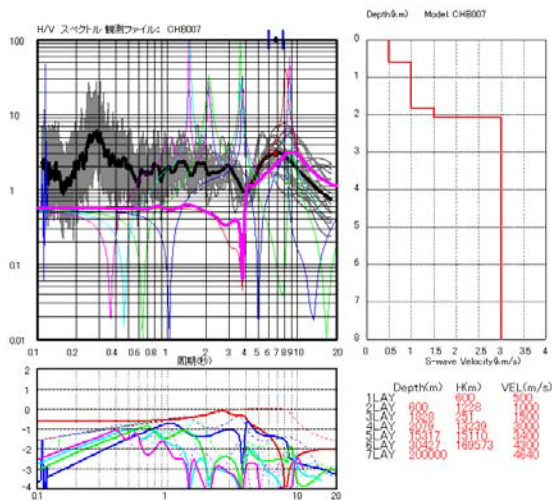


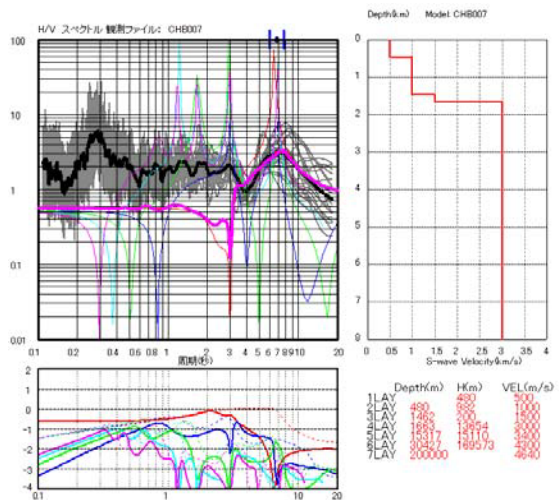
CHB006 (成田)



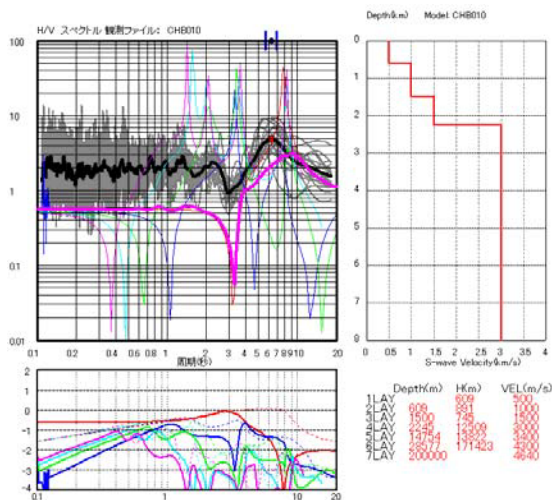
修正結果 (各層厚を 80%)



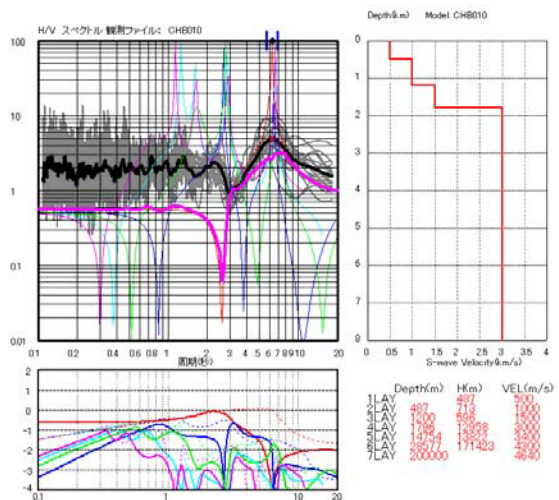
CHB007 (佐倉)



修正結果 (各層厚を 80%)

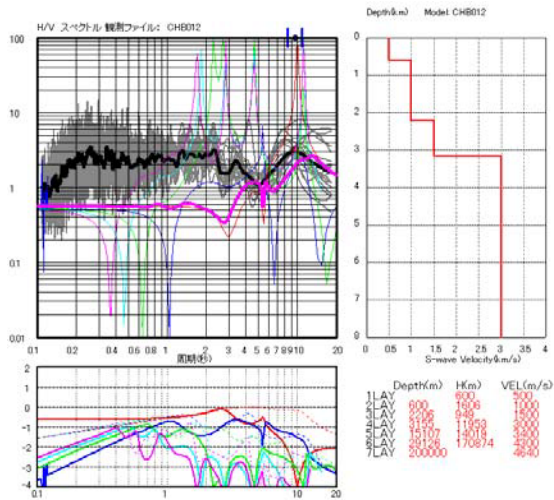


CHB010 (八日市場)

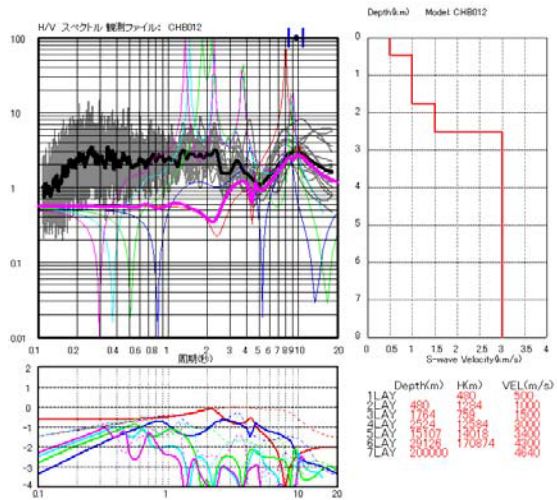


修正結果 (各層厚を 80%)

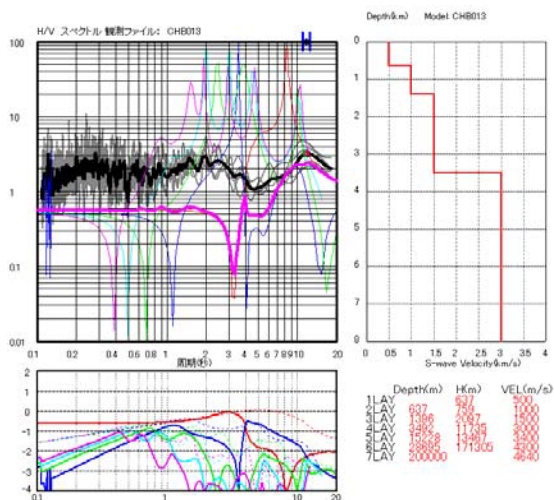
図 2.4-9 (その 2) H/V スペクトルの比較による深部地盤モデルの修正
(左側の図がスムージング後の初期モデル、右側が修正後モデル)



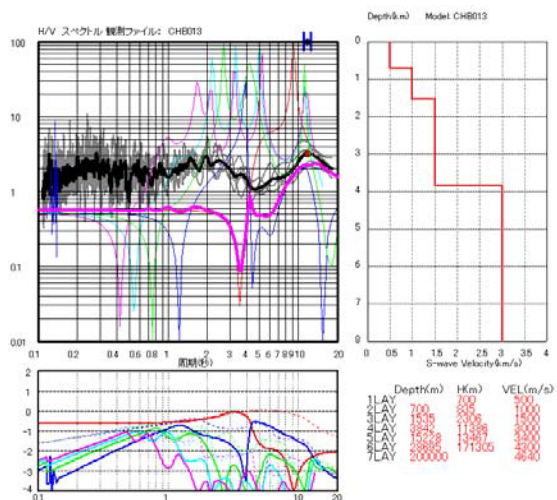
CHB012 (東金)



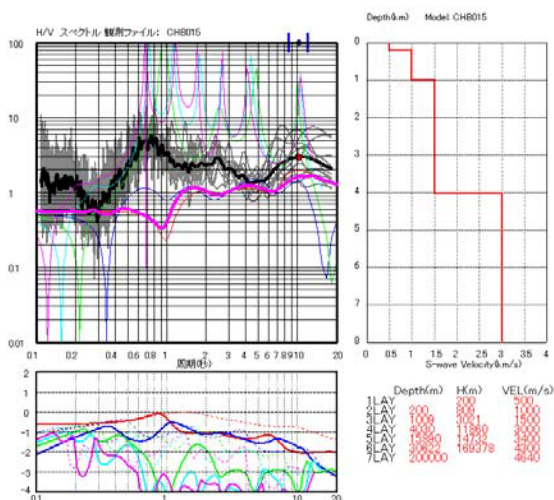
修正結果 (各層厚を 80%)



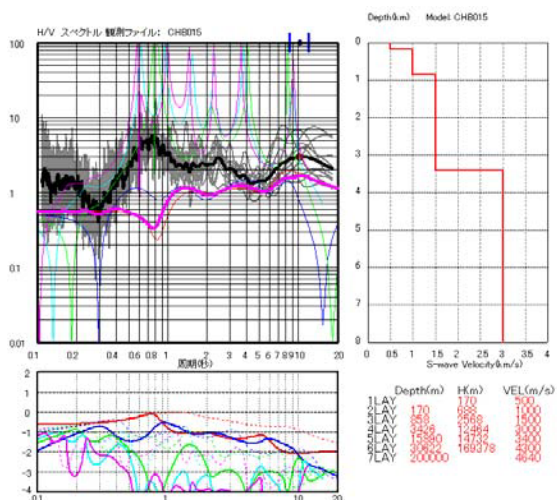
CHB013 (茂原)



修正結果 (各層厚を 110%)



CHB015 (木更津)



修正結果 (各層厚を 85%)

図 2.4-9 (その 3) H/V スペクトルの比較による深部地盤モデルの修正
(左側の図がスムージング後の初期モデル、右側が修正後モデル)